

# 液晶的光电响应特性测量

13307110183 周孟磊  
13307110181 张卓

# 液晶简介

- ▶ 1. 液晶的结构特点:

液晶相中, 分子的形状是使其具有一定的指向性而不容易自由转动的长棒状.

- ▶ 2. 液晶的宏观对称性:

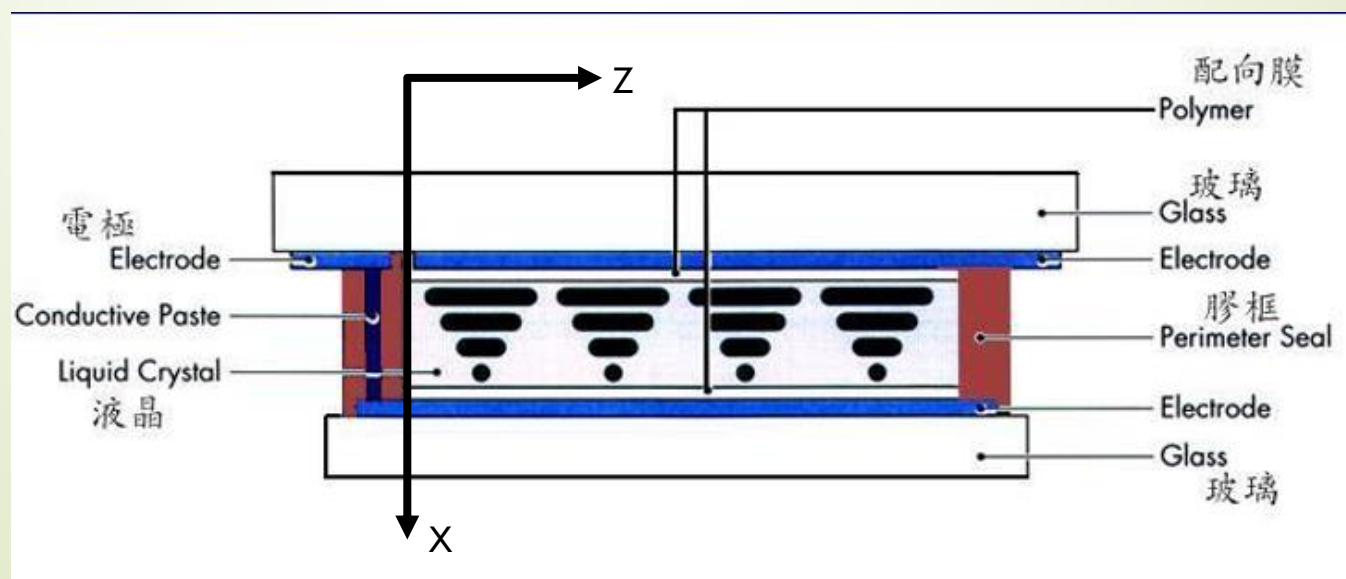
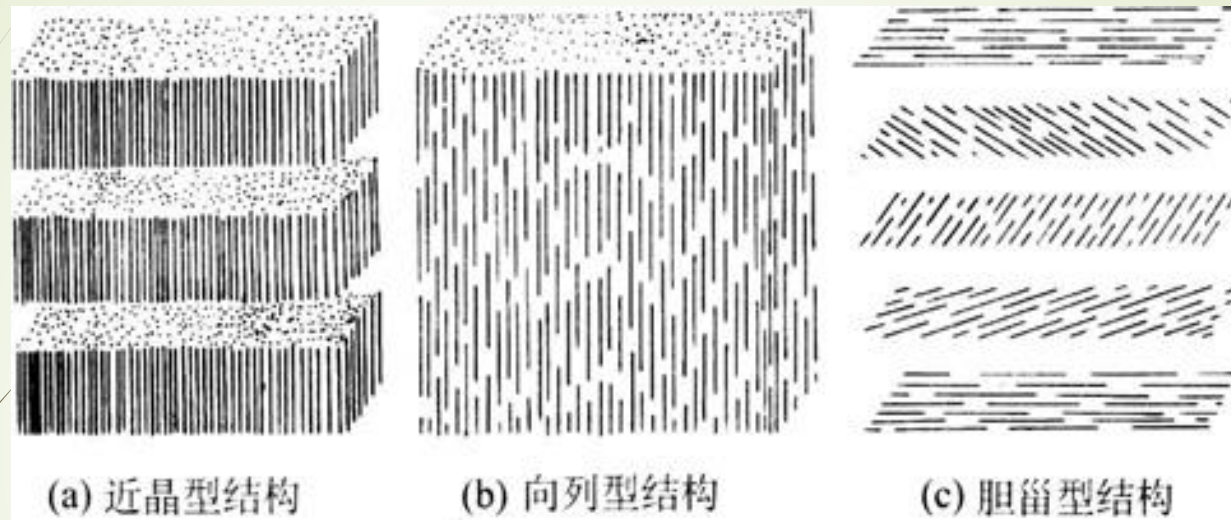
液晶分子的排列状态按其对称性可分成三大类: 向列型/胆甾型/近晶型.

- ▶ 3. 向列型液晶分子排列的特点:

①分子的长程指向有序性, 分子之间趋于彼此互相平行排列;

②向列相是流动的, 即众多分子的中心排列是无序的或长程无序.

# 三种典型的液晶结构



# Chapter 1.

# 液晶分子在外场下的平衡态性质

理论部分: 5~7

实验部分: 8~10

对测量的分析与改进: 11~12

# Friedericksz 转变电压(I)

► 自由能:

$$F = S \int_0^l \left\{ \frac{1}{2} k \left[ \frac{d\theta(x)}{dx} \right]^2 - \frac{1}{2} E^2 \cdot \Delta\varepsilon \cos^2 \theta(x) \right\} dx$$

► 利用Euler方程:

$$-\frac{k}{\Delta\varepsilon E^2} \frac{d^2\theta}{dx^2} + \sin\theta \cos\theta = 0$$

► 通解:

$$\begin{aligned} \left( \frac{d\theta}{dx} \right)^2 &= C - \left( \frac{\sin\theta}{l_e} \right)^2 \\ l_e^2 &= -\frac{k}{\Delta\varepsilon E^2} \end{aligned}$$

► 边界条件:

$$\begin{cases} \frac{d\theta}{dx}|_{x=0} = 0 \\ \theta|_{x=0} = \theta_m \end{cases}$$

# Friederieksz 转变电压 (II)

⇒

$$\frac{d\theta}{dx} = \pm \frac{1}{l_e} \sqrt{\sin^2 \theta_m - \sin^2 \theta}$$

注: +号对应于  $x < 0$  的区域, -号对应于  $x > 0$  的区域.

$$\int_{-\frac{d}{2}}^x \frac{dx}{l_e} = \frac{1}{l_e} \left( \frac{d}{2} + x \right) = \int_0^{\theta(x)} \frac{d\theta'}{\sqrt{\sin^2 \theta_m - \sin^2 \theta'}}$$

由边界条件:

$$\frac{d}{2l_e} = \int_0^{\theta_m} \frac{d\theta'}{\sqrt{\sin^2 \theta_m - \sin^2 \theta'}} = \frac{\pi}{2} \left( 1 + \frac{1}{4} \sin^2 \theta_m + \dots \right)$$

⇒

$$E = \sqrt{-\frac{k}{\Delta \varepsilon} \cdot \frac{\pi}{d} \left( 1 + \frac{1}{4} \sin^2 \theta_m + \dots \right)}$$

► 阈值电压:

$$V_{th} = \pi \sqrt{-\frac{k}{\Delta \varepsilon}}$$

# 外加电压大于阈值时的分子倾角

$$\frac{1}{l_e} \left( \frac{d}{2} + x \right) = \int_0^{\theta(x)} \frac{d\theta'}{\sqrt{\sin^2 \theta_m - \sin^2 \theta'}}$$

► 近似方法:

将  $\sin^2 \theta$  展开至  $\theta^4$  项, 注意到  $E_{th} = \frac{\pi}{d} \sqrt{-\frac{k}{\Delta \varepsilon}}$

► 单位面积液晶盒的自由能:

$$\frac{F}{S} = \frac{1}{2} k \frac{\pi^2}{d} \left[ \left( 1 - \frac{E^2}{E_{th}^2} \right) \theta_m^2 + \frac{E^2}{E_{th}^2} \frac{\theta_m^4}{4} \right]$$

$$\delta F = 0 \Rightarrow$$

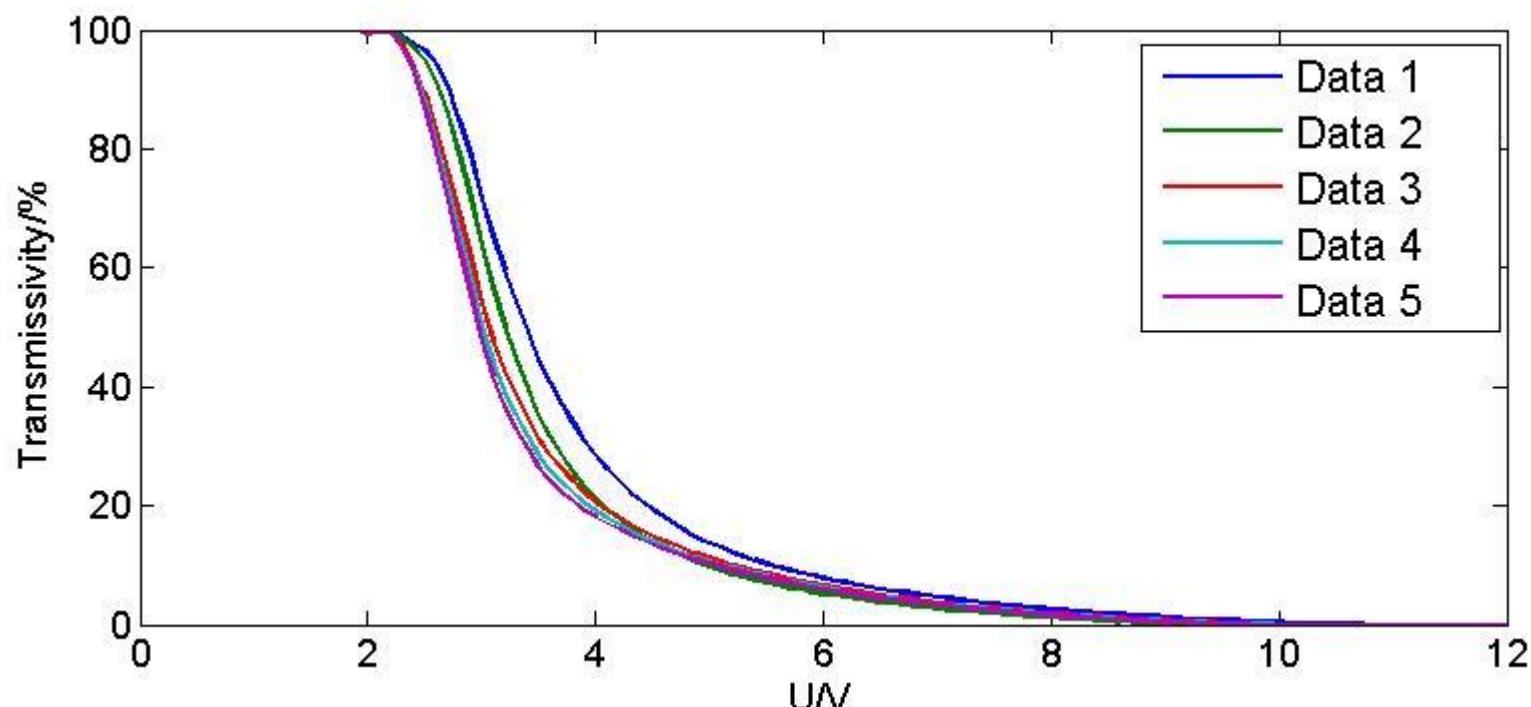
$$\left( 1 - \frac{E^2}{E_{th}^2} \right) \theta_m^2 + \frac{E^2}{E_{th}^2} \frac{\theta_m^4}{4} = 0$$

$$\therefore \frac{\theta_m^2}{4} = \frac{E^2 - E_{th}^2}{E^2} = \frac{V^2 - V_{th}^2}{V^2}$$

$$\theta_m = 2 \sqrt{1 - \frac{V_{th}^2}{V^2}}$$

# Friederieksz 转变电压的测量

编号	1	2	3	4	5	均值
F转变电压(V)	2.2	2.2	1.8	1.8	1.8	1.96



验证分子倾角公式  $\theta_m = 2\sqrt{1 - \frac{V_{th}^2}{V^2}}(l)$

$$\Delta n = n_e - n_o = (n_{\parallel} - n_{\perp}) \sin^2 \theta(x)$$

$$\theta(x) \approx \theta_m \cos\left(\frac{\pi}{d}x\right)$$

$$\Delta = \int_{-\frac{d}{2}}^{\frac{d}{2}} \Delta n dx = (n_{\parallel} - n_{\perp}) \theta_m^2 \int_{-\frac{d}{2}}^{\frac{d}{2}} \cos^2\left(\frac{\pi}{d}x\right) dx = (n_{\parallel} - n_{\perp}) \theta_m^2 \frac{d}{2}$$

$\Rightarrow$

$$\delta = \frac{2\pi}{\lambda_0} \Delta = \frac{\pi d}{\lambda_0} (n_{\parallel} - n_{\perp}) \theta_m^2$$

$$T_{\text{absolute}} = \cos^2(\alpha - \beta) - \sin(2\alpha) \sin(2\beta) \cos^2\left(\frac{\delta}{2}\right)$$

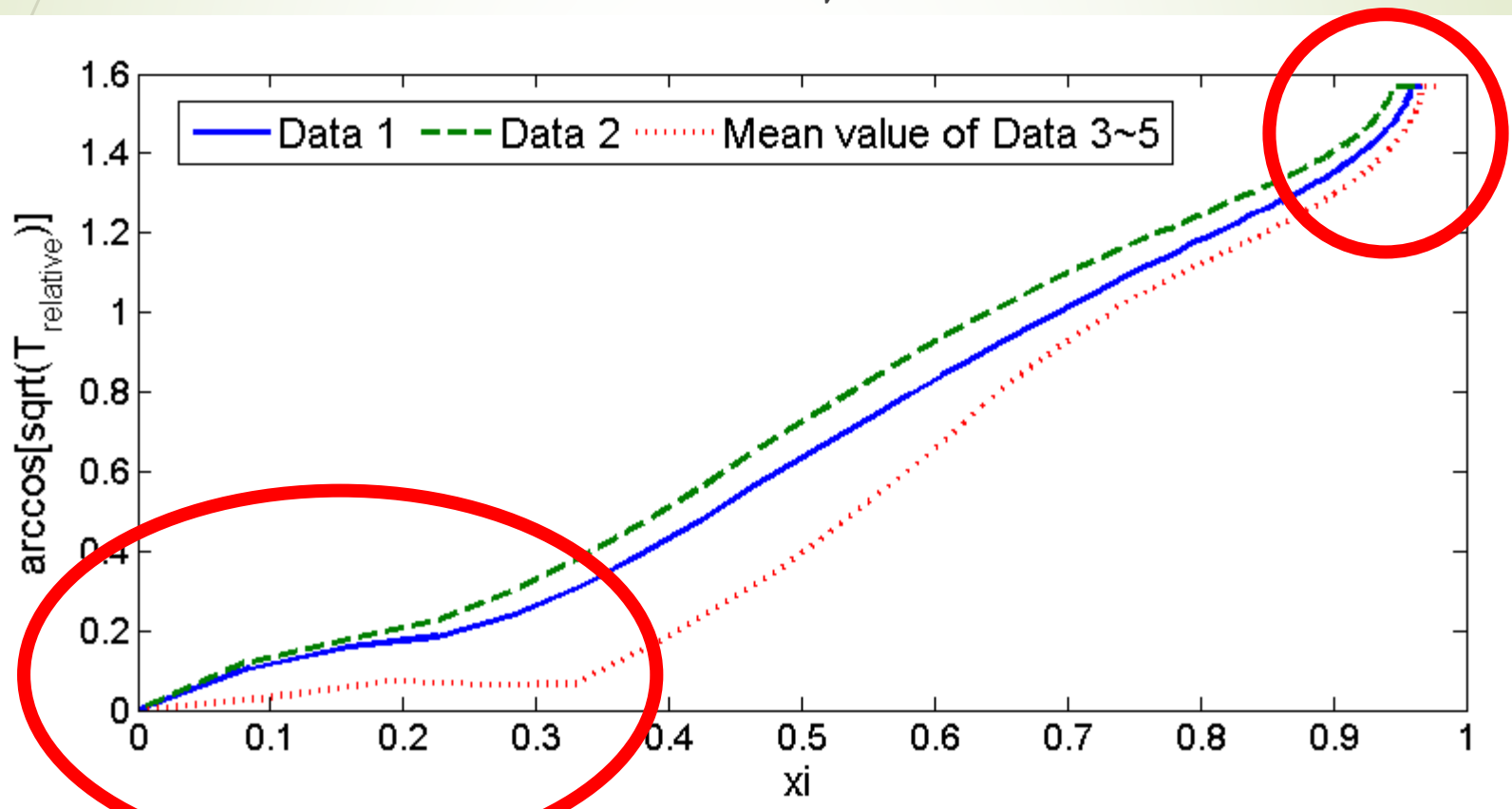
当两片偏振片垂直时：

$$T_{\text{relative}} = \cos^2\left(\frac{\delta}{2}\right)$$

验证分子倾角公式  $\theta_m = 2\sqrt{1 - \frac{V_{th}^2}{V^2}}$  (II)

$$T_{\text{relative}} = \cos^2\left(\frac{\delta}{2}\right) = \cos^2\left(\frac{\pi d}{2\lambda_0}(n_{\parallel} - n_{\perp})\theta_m^2\right)$$

将  $\arccos\sqrt{T_{\text{relative}}}$  对  $\xi = 1 - \frac{V_{th}^2}{V^2}$  作图:



# 验证分子倾角公式 $\theta_m = 2\sqrt{1 - \frac{V_{th}^2}{V^2}}$ (III)

Comments:

- $\arccos\sqrt{T_{relative}}$  对  $\xi = 1 - \frac{V_{th}^2}{V^2}$  的线性度并不高:

编号	相关系数 $R^2$
1	0.9831
2	0.9912
3~5	0.9596

由于  $T_{relative}$  的解析式对  $V_{th}$  非常敏感, 很有可能是  $V_{th}$  测量的不准确导致  $\arccos\sqrt{T_{relative}}$  对  $\xi = 1 - \frac{V_{th}^2}{V^2}$  的线性度并不高.

- 当  $V > 3V_{th}$  时, 即  $\xi > 0.89$  时,  $\theta(x) \approx \theta_m \cos\left(\frac{\pi}{d}x\right)$  的近似关系不再成立:

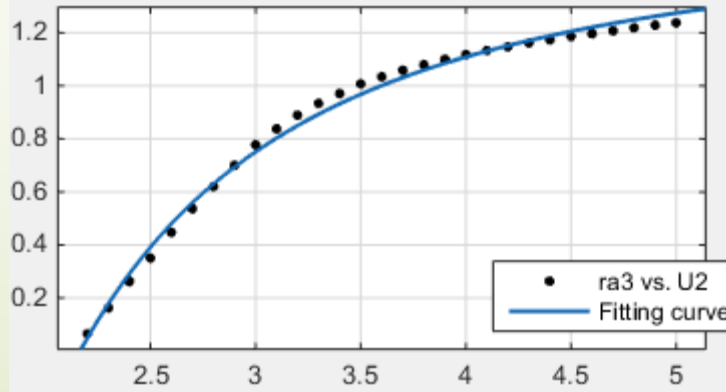
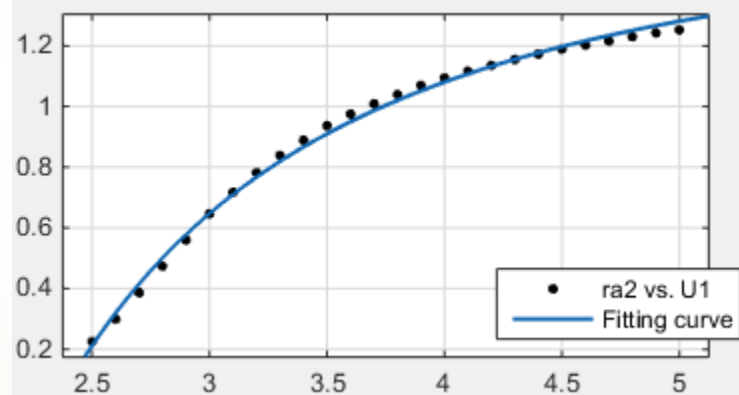
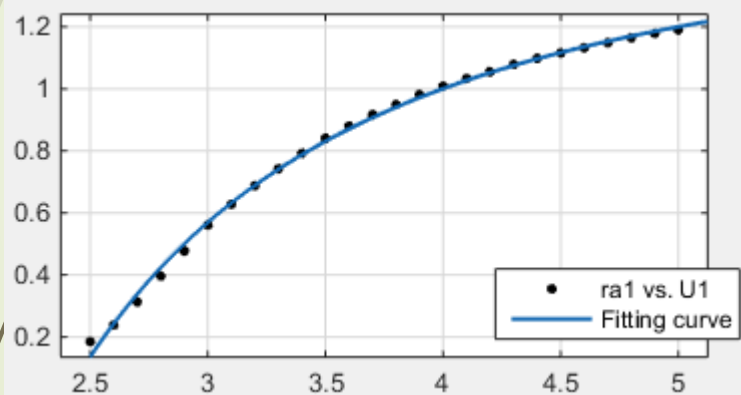
$$\delta = \eta \frac{\pi d}{\lambda_0} (n_{\parallel} - n_{\perp}) \theta_m^2, 1 \leq \eta < 2$$

这是实验曲线在  $\xi \approx 0.9$  以后上翘的直接原因.

# 对于Comment. 1的回应

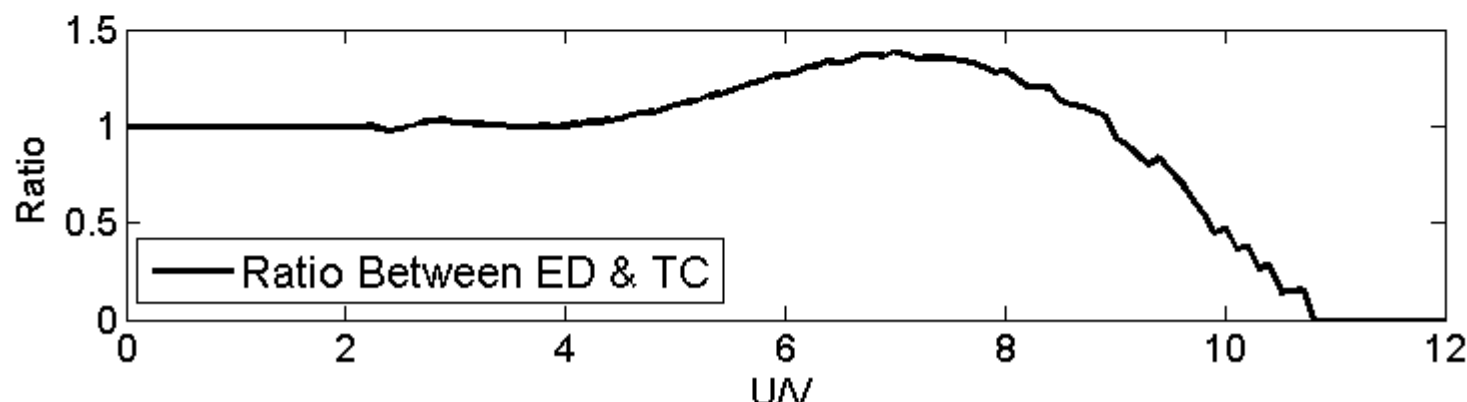
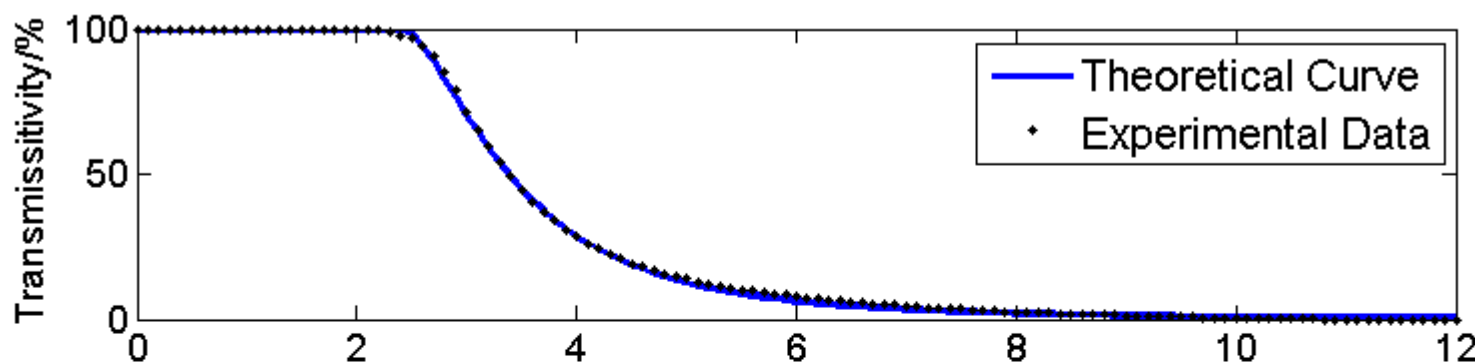
- 对  $V \leq 5V$  的数据按  $\arccos\sqrt{T_{\text{relative}}} = C \cdot \xi(V_{th})$  拟合:

编号	1	2	3~5
$V_{th}$	2.388 V	2.333 V	2.165 V
$R^2$	0.9978	0.9964	0.9939



# 实验结论

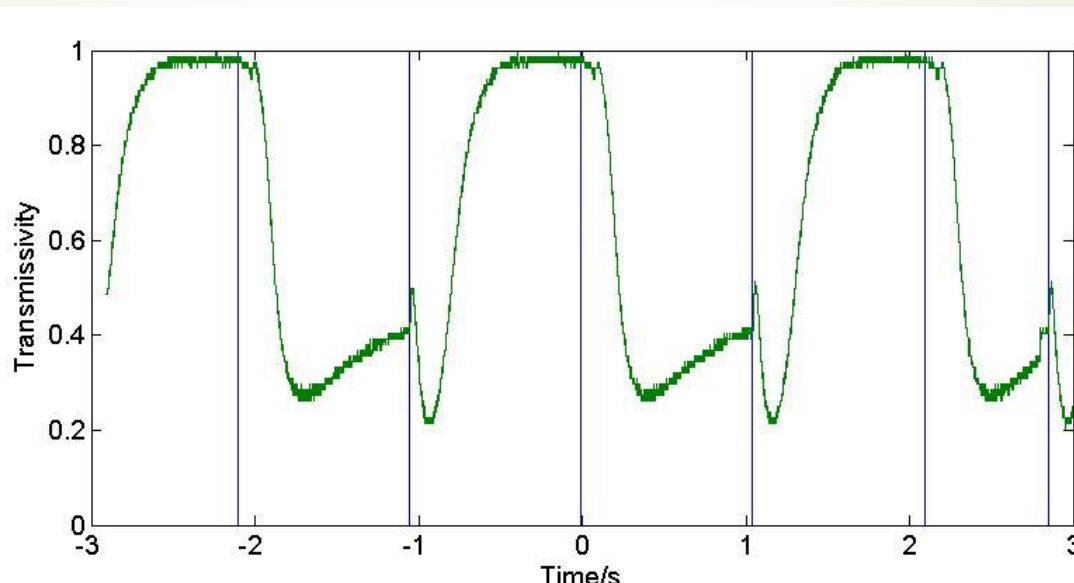
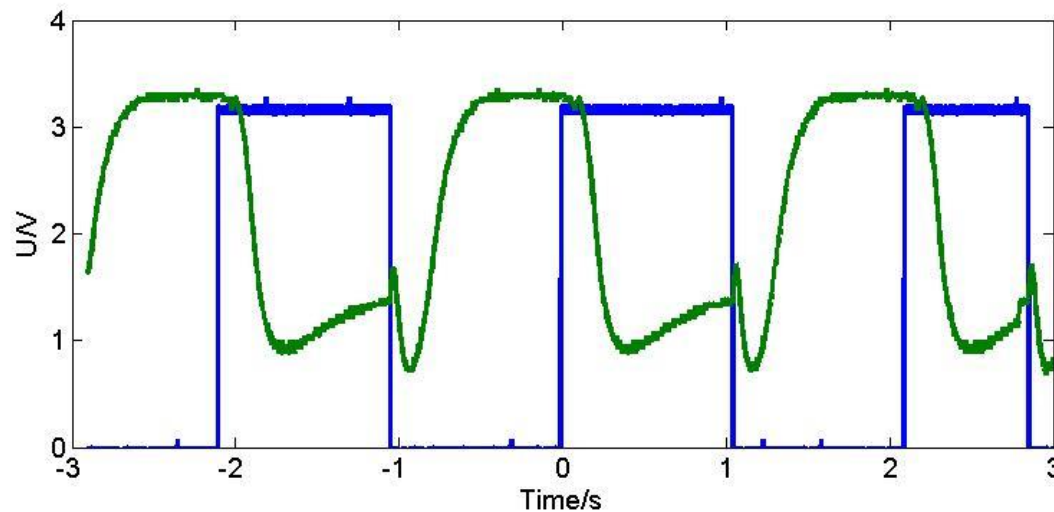
- ▶ 液晶体系的Friederieksz 转变电压在2.1V~2.4V之间;
- ▶ 分子倾角公式 $\theta_m = 2\sqrt{1 - \frac{V_{th}^2}{V^2}}$ 得到验证.



# Chapter 2.

# 液晶分子在外场下的转向弛豫

# 外场电压2.8V时的透射率图像



# 对瞬时分子反转的动力学解释(I)

液晶的自由能密度:

$$f = \frac{1}{2}k \left[ \frac{\partial \theta(x, t)}{\partial x} \right]^2 + \frac{1}{2}E^2 \cdot \Delta\varepsilon \sin^2 \theta(x, t)$$

动力学方程:

$$-\frac{\partial f}{\partial \theta} = \dot{p}_\theta = \mu \ddot{\theta}$$

将解分离变量并对 $t$ 在零点邻域作Taylor展开:

$$\theta(x, t) = X(x)T(t) = X(x)(A_0 + A_1t + A_2t^2 + A_3t^3 + \dots)$$

$\Rightarrow$

$$-kT(t) \frac{d^2X(x)}{dx^2} - \frac{1}{2}E^2 \cdot \Delta\varepsilon \sin[2X(x)T(t)] = \mu X(t)\ddot{T}$$

考虑到 $X(x)$ 的类cos函数的对称性, 可以认为:

$$\frac{d^2X}{dx^2} \sim -X.$$

## 对瞬时分子反转的动力学解释(II)

在取定点时, 上述方程化为关于时间 $t$ 的常微分方程:

$$C \cdot T(t) - D \sin[2XT(t)] = \ddot{T}$$

其中  $C = \frac{k}{\mu} > 0$  &  $D = \frac{1}{2\mu X} E^2 \cdot \Delta\varepsilon$ .

► 无外场时:  $D = E = 0$  &  $A_0 > 0$

$$\begin{aligned} A_1 &< 0 \\ \Rightarrow A_2 &= \frac{C}{2} A_0 > 0 \\ A_3 &= \frac{C}{6} A_1 < 0 \end{aligned}$$

偏转角减小→增大→减小, 透射率增大→减小→增大

► 外加电场时:  $A_0 = 0, D < 0$

$$\begin{aligned} A_1 &> 0 \\ \Rightarrow A_2 &= A_4 = 0 \\ A_3 &= \frac{A_1}{6}(C - 2DX) > 0 \end{aligned}$$

偏转角将持续增大, 透射率持续减小. ( $A_5$ 的正负与 $C, D$ 的比值有关)

► Hint: 上述结论仅无阻尼时外场变动后的较短时间内有效.

## 实验结论

► 液晶的上升时间 $\tau_u$ 与下降时间 $\tau_d$ :

$$\tau_u = 0.4483 \text{ s}$$

$$\tau_d = 0.6046 \text{ s}$$

A decorative graphic on the left side of the slide consists of several thin, curved lines in shades of brown, grey, and white, which intersect and curve across the frame.

## Reference:

1. 世纪中科液晶电光效应综合试验仪说明书;
2. 黄子强. 《液晶显示原理》, 国防工业出版社, 2013.

# THANKS!